



Liberté • Égalité • Fraternité
RÉPUBLIQUE FRANÇAISE

PRÉFECTURE DE LA SEINE-MARITIME

DIRECTION DE LA COORDINATION
ET DE LA PERFORMANCE DE L'ETAT

BUREAU DE LA COORDINATION DE L'ACTION DE L'ETAT

Affaire suivie par M^{me} Bénédicte CHIRON

☎ : 02.32.76.53.96

☎ : 02.32.76.54.60

✉ : benedicte.chiron@seine-maritime.pref.gouv.fr

Rouen, le 4 MAR. 2010

LE PREFET
De la Région de Haute-Normandie
Préfet de la Seine-Maritime

ARRETE

Société LANXESS ELASTOMERES

LILLEBONNE

Objet : Prescriptions complémentaires relatives à l'appréciation de la démarche de maîtrise des risques 'MMR' et la validation de la liste des phénomènes dangereux pour l'élaboration du PPRT

VU :

Le Code de l'Environnement et notamment son livre V,

Les différents arrêtés et récépissés réglementant et autorisant les activités exercées par la société LANXESS ELASTOMERES,

La circulaire du 29 mai 2005 relative aux critères d'appréciation de la démarche de maîtrise des risques d'accidents susceptibles de survenir dans les établissements dits « SEVESO », visés par l'arrêté du 10 mai 2000 modifié,

L'arrêté préfectoral du 11 janvier 2006, portant sur les compléments d'études de dangers spécifiques à remettre dans le cadre de l'élaboration du PPRT,

Les éléments remis par l'exploitant en réponse à l'arrêté préfectoral du 11 janvier 2006 : dossier PPRT initial du 30 mars 2006 et ses compléments des 5 mai 2007 (mises à jour probabilité/gravité), 21 septembre 2007 (nœuds papillon pour l'exclusion au PPRT des réacteurs batch, justification MMR), 28 mai 2008 (pressurisation des bacs, boil over couche mince, débordement des bacs...), 17 juin 2008 (arrêt de réacteurs de polymérisation batch et du ballon F4512), 11 février 2009 (mise à jour du dossier PPRT), 3 juillet et 26 octobre 2009 (appréciation de la maîtrise des risques et éléments relatif à l'arrêt de certains appareils),

Le rapport de l'inspection des installations classées en date du 28 novembre 2009,

La lettre de convocation au conseil départemental de l'environnement et des risques sanitaires et technologiques datée du 24 décembre 2009,

L'avis du conseil départemental de l'environnement et des risques sanitaires et technologiques en date du 12 janvier 2010,

La transmission du projet d'arrêté faite le 29 janvier 2010.

CONSIDERANT :

Que la société LANXESS ELASTOMERES exploite sur le territoire de la commune de LILLEBONNE des installations réglementées au titre de la législation des installations classées pour la protection de l'environnement dites « SEVESO seuil haut »,

Que ce site est concerné par le PPRT de la zone industrielle de Port-Jérôme prescrit par arrêté préfectoral susvisé,

Que l'objet du PPRT consiste à participer à la politique de prévention des risques industriels dont l'objectif premier est la réduction du risque à la source,

Que dans le cadre de la démarche d'élaboration du PPRT précité, l'exploitant a présenté des éléments visant à permettre d'apprécier la démarche de maîtrise des risques « MMR », et de fixer la liste des zones de dangers à prendre en compte,

Que les éléments présentés ont permis de valider la liste des phénomènes dangereux générés par le site de la société LANXESS ELASTOMERES, utiles à la définition des aléas technologiques,

Que les données fournies par l'exploitant ont permis de définir les zones de dangers à prendre en compte dans le cadre du PPRT,

Que la conclusion définitive sur la maîtrise des risques sera faite après acceptation d'un plan d'urgence actuellement en cours d'élaboration,

Qu'il convient également d'acter l'arrêt d'activité des réacteurs, blend-tanks et autres appareils déclarés à l'arrêt par l'exploitant, dont les zones de dangers n'ont pas été prises en compte dans le calcul des aléas,

Qu'il y a lieu, en conséquence, de faire application des dispositions prévues par l'article R.512-33 du Code de l'Environnement.

ARRETE

Article 1 :

La Société LANXESS ELASTOMERES, implantée sur la Zone Industrielle de LILLEBONNE (76170), est tenue de respecter les prescriptions complémentaires ci-annexées relatives à l'appréciation de la démarche de maîtrise des risques "MMR" et la validation de la liste des phénomènes dangereux pour l'élaboration du PPRT

En outre, l'exploitant devra se conformer strictement aux dispositions édictées par le livre II (titre III) - parties législatives et réglementaires - du Code du Travail, et aux textes pris pour son application dans l'intérêt de l'hygiène et de la sécurité des travailleurs. Sur sa demande, tous renseignements utiles lui seront fournis par l'inspection du travail pour l'application de ces règlements.

Article 2 :

Une copie du présent arrêté devra être tenue au siège de l'établissement, à la disposition des autorités chargées d'en contrôler l'exécution. Par ailleurs, ce même arrêté devra être affiché en permanence de façon visible à l'intérieur du site.

Article 3 :

L'établissement demeurera d'ailleurs soumis à la surveillance de la police, de l'inspection des installations classées et de l'inspection du travail, des services incendie et secours ainsi qu'à l'exécution de toutes mesures ultérieures que l'administration jugerait nécessaires d'ordonner dans l'intérêt de la sécurité et de la salubrité publiques.

Article 4 :

En cas de contraventions dûment constatées aux dispositions qui précèdent, l'exploitant pourra faire l'objet, indépendamment des sanctions pénales encourues, des sanctions administratives prévues par la législation sur les installations classées.

Sauf le cas de force majeure, le présent arrêté cessera de produire effet si l'établissement n'est pas exploité pendant deux années consécutives.

Article 5 :

Au cas où la société serait amenée à céder son exploitation, le nouvel exploitant ou son représentant devra en faire la déclaration aux services préfectoraux le mois suivant la prise en charge de l'exploitation.

S'il est mis un terme au fonctionnement de l'activité, l'exploitant est tenu d'en faire la déclaration au moins trois mois avant la date de cessation, dans les formes prescrites par l'article R 512-74 du Code de l'Environnement, et de prendre les mesures qui s'imposent pour remettre le site dans un état tel qu'il ne s'y manifeste aucun des dangers ou inconvénients mentionnés à l'article L.511-1 du code précité.

Article 6 :

Conformément à l'article L.514-6 du Code de l'Environnement, la présente décision ne peut être déférée qu'au tribunal administratif de Rouen. Le délai de recours est de deux mois pour l'exploitant à compter du jour où la présente décision lui a été notifiée et de quatre ans pour les tiers à compter du jour de sa parution.

Article 7 :

Les droits des tiers sont et demeurent expressément réservés.

Article 8 :

Le secrétaire général de la préfecture de la Seine-Maritime, le sous-préfet du Havre, le maire de Lillebonne, le directeur régional de l'environnement de l'aménagement et du logement de Haute-Normandie, les inspecteurs des installations classées, le directeur départemental du travail, de l'emploi et de la formation professionnelle, les inspecteurs du travail, le directeur départemental des services d'incendie et de secours, ainsi que tout agent habilité des services précités et toute autorité de police et de gendarmerie sont chargés, chacun en ce qui le concerne de l'exécution du présent arrêté, dont copie sera affichée pendant une durée minimum d'un mois à la porte de la mairie de Lillebonne.

Un avis sera inséré aux frais de la société intéressée dans deux journaux d'annonces légales du département.

Le Préfet

~~Pour le Préfet et par délégation~~

Le Secrétaire Général,

Jean-Michel MOUGARD

Vu pour être ~~arrêté~~ ~~en date du~~ ~~4 MAR 2010~~
ROUEN, le : ~~6 MAR 2010~~
LE PREFET

**prescriptions actant les listes
de phénomènes dangereux et distances d'effet
retenus pour le PPRT**

et par délégation
Le Secrétaire Général
Jean-Michel MOUGARD

Les prescriptions de l'arrêté cadre du 8 novembre 2001 autorisant la société LANXESS sont modifiées comme suit :

Article 1 : Zones de danger

Le contenu de l'annexe "zones de danger" de l'arrêté cadre du 8/11/01, modifié par les arrêtés complémentaires des 2 juillet 2007, 4 mai 2006, 15 mai 2007 et 14 avril 2009 est remplacé par le tableau (136 lignes) annexé au présent arrêté.

Article 2 : Arrêt d'équipements

Il est ajouté un alinéa à l'article I.1 de l'arrêté cadre du 8 novembre 2001, rédigé comme suit :

" Les équipements suivants sont désaffectés et mis en sécurité, de manière à ne pas pouvoir être à l'origine d'aucun phénomène dangereux :

- Réacteurs R403, R406, R423 et R424
- Blend-tanks F501, 502, 503, 520 et 529
- Equipements F104 et F156. "

LISTE DES PHENOMENES DANGEREUX RETENUS POUR LE PPRT DE LANXESS

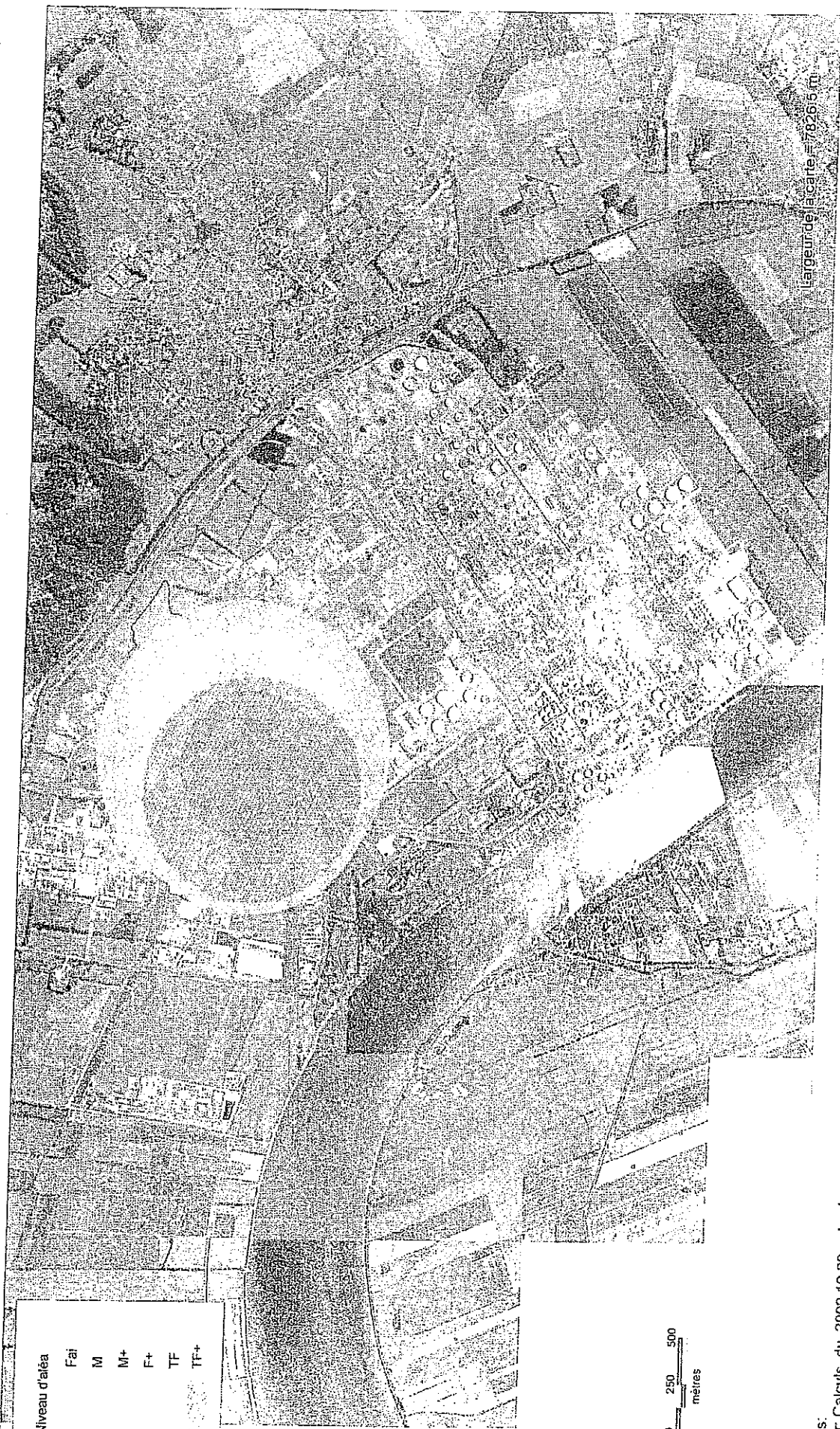
| Numéro du Phd | Numéro du Phd Lanxess | Commentaire (descriptif) | Indice de probabilité | Type d'effet | Distance d'effet (4n m) | | | | Bris de vitre | Cinétique |
|---------------|-----------------------|--|-----------------------|--------------|-------------------------|-------------|--------------------|------|---------------|-----------|
| | | | | | Effet très grave | Effet grave | Effet significatif | | | |
| 61 | 134 | LANXESS - Colonne D 213 - Stripage du solvant résiduaire - Explosion suite à la rupture de la ligne en fond de colonne D 213 (10") - 130 | D | surpression | 137 | 194 | 489 | 1120 | rapide | |
| 62 | 151 | LANXESS - rack Z200 - Explosion suite à la rupture d'une ligne de Blend B (40% butadiène/60% hexane) sur la dernière nappe du rack est/ouest qui sépare la distillation de la purification - 148 | D | surpression | 145 | 194 | 474 | 1085 | rapide | |
| 63 | 141 | LANXESS - Colonne D 215 - Stripage du solvant résiduaire - Explosion suite à la rupture de la ligne de fond de la colonne D 215 (10") - 138 | D | surpression | 91 | 155 | 420 | 960 | rapide | |
| 64 | 125 | LANXESS - Colonne D212 - Séchage du bd et hexane - Explosion suite à la rupture de la canalisation en fond de colonne D212 (10") - 122 | D | surpression | 109 | 146 | 377 | 884 | rapide | |
| 65 | 86 | LANXESS - F202 - Explosion suite à la rupture du piquage 2" du décanteur F202 - 83 | D | surpression | 92 | 135 | 351 | 803 | rapide | |
| 66 | 96 | LANXESS - F204 - Explosion suite à la rupture du piquage 2" du décanteur F204 - 93 | D | surpression | 92 | 135 | 351 | 803 | rapide | |
| 67 | 129 | LANXESS - F235 - Explosion suite à la rupture de la canalisation du piquage en fond de F235 (3") - 126 | D | surpression | 104 | 139 | 342 | 782 | rapide | |
| 68 | 94 | LANXESS - F 203 - Explosion suite à la rupture de la canalisation de 3" en fond de F 203 - 91 | D | surpression | 103 | 137 | 337 | 771 | rapide | |
| 69 | 137 | LANXESS - F231 (reflux D213) - Explosion suite à la rupture de la ligne de soutirage du F231 (3") - 134 | D | surpression | 87 | 117 | 286 | 655 | rapide | |
| 70 | 90 | LANXESS - F222 - Explosion suite à rupture fragile de la ligne au refoulement de la soupape du bac (suite à décharge de butadiène) - 87 | D | surpression | 61 | 81 | 199 | 456 | rapide | |
| 71 | 118 | LANXESS - Colonne D211A/B - Séchage du blend S - Explosion suite à la fuite en pied de colonne D 211 A - admission de blend S (6") - 115 | D | surpression | 38 | 62 | 184 | 438 | rapide | |
| 72 | 133 | LANXESS - F 230 - Explosion suite à l'admission de butadiène et d'hexane dans le bac F230 (1") - 129 | D | surpression | 0 | 80 | 180 | 380 | rapide | |
| 73 | 111 | LANXESS - Colonne D 209 - Concentration d'impuretés de styrène - Explosion suite à la rupture ligne de réchauffage en pied de colonne D 209 (4") - 108 | D | surpression | 47 | 62 | 152 | 349 | rapide | |
| 74 | 108 | LANXESS - F 217 - Explosion suite à la rupture de la canalisation du circuit de reflux en sortie du F 217 (2") - 105 | C | surpression | 45 | 59 | 147 | 336 | rapide | |
| 75 | 103 | LANXESS - Colonne D 203 - Récupération du butadiène - Explosion suite à la rupture de la canalisation en sortie de la colonne D 203 (1,5") - 100 | D | surpression | 33 | 44 | 146 | 334 | rapide | |
| 76 | 145 | LANXESS - F 208 - Explosion suite à la rupture de la ligne de soutirage du F 208 (8") - 142 | D | surpression | 44 | 59 | 144 | 331 | rapide | |
| 77 | 148 | LANXESS - F 210 - Explosion suite à la rupture de la ligne de soutirage du F 210 (8") - 145 | D | surpression | 44 | 59 | 144 | 331 | rapide | |
| 78 | 121 | LANXESS - Colonne D212 - Séchage du bd et hexane - Explosion suite à la rupture de la canalisation d'alimentation de la D212 (6") - 118 | D | surpression | 42 | 57 | 139 | 317 | rapide | |
| 79 | 79 | LANXESS - Colonne D201-Purification, lavage du bd 1-3 - Explosion suite à la rupture du piquage de fond de la colonne D201 (1,5") - 77 | D | surpression | 32 | 43 | 126 | 307 | rapide | |
| 84 | 207 | LANXESS - R440 réacteur UVCE suite à la rupture guillotine de la ligne (4") d'alimentation en Blend B du réacteur R440 - 204 | D | surpression | 145 | 193 | 454 | 908 | rapide | |
| 85 | 235 | LANXESS - R456 UVCE suite à la rupture guillotine de la ligne d'alimentation en blend B (4") - 232 | D | surpression | 145 | 193 | 454 | 908 | rapide | |
| 86 | 180 | LANXESS - R401 réacteur UVCE suite à la rupture en pied de réacteur R 401 (12") - 177 | E | surpression | 0 | 165 | 400 | 800 | rapide | |
| 87 | 183 | LANXESS - R402 réacteur UVCE suite à la rupture en pied de réacteur R 402 (12") - 180 | E | surpression | 0 | 165 | 400 | 800 | rapide | |
| 89 | 189 | LANXESS - R404 réacteur UVCE suite à la rupture en pied de réacteur R 404 (12") - 186 | E | surpression | 0 | 165 | 400 | 800 | rapide | |
| 90 | 192 | LANXESS - R405 réacteur UVCE suite à la rupture en pied de réacteur R 405 (12") - 189 | E | surpression | 0 | 165 | 400 | 800 | rapide | |
| 92 | 198 | LANXESS - R421 réacteur UVCE suite à la rupture en pied de réacteur R 421 (12") - 195 | E | surpression | 0 | 165 | 400 | 800 | rapide | |
| 93 | 201 | LANXESS - R422 réacteur UVCE suite à la rupture en pied de réacteur R 422 (12") - 198 | E | surpression | 0 | 165 | 400 | 800 | rapide | |
| 94 | 211 | LANXESS - R457 réacteur UVCE suite à la rupture en pied de réacteur R 457 (12") - 208 | E | surpression | 0 | 165 | 400 | 800 | rapide | |
| 95 | 214 | LANXESS - R460 réacteur UVCE suite à la rupture en pied de réacteur R 460 (12") - 211 | E | surpression | 0 | 165 | 400 | 800 | rapide | |
| 96 | 217 | LANXESS - R461 réacteur UVCE suite à la rupture en pied de réacteur R 461 (12") - 214 | E | surpression | 0 | 165 | 400 | 800 | rapide | |
| 97 | 220 | LANXESS - R462 réacteur UVCE suite à la rupture en pied de réacteur R 462 (12") - 217 | E | surpression | 0 | 165 | 400 | 800 | rapide | |
| 99 | 204 | LANXESS - R440 réacteur UVCE suite à la fuite sur la ligne (4") d'alimentation en Blend B du réacteur R440 - 201 | D | surpression | 75 | 100 | 236 | 472 | rapide | |
| 100 | 232 | LANXESS - R456 réacteur UVCE suite à la fuite sur la ligne (4") d'alimentation en Blend B du réacteur R456 - 229 | D | surpression | 75 | 100 | 236 | 472 | rapide | |
| 101 | 167 | LANXESS - F424 Stockage et emploi de néodyme - Explosion suite à la rupture en ras de paroi du F 424 (1,5") - 164 | C | surpression | 72 | 96 | 227 | 454 | rapide | |
| 102 | 223 | LANXESS - F 401 UVCE suite à la fuite sur la ligne de soutirage du bac de récupération d'hexane flashé F401 (4") - 220 | D | surpression | 68 | 91 | 215 | 430 | rapide | |
| 103 | 226 | LANXESS - F 421 UVCE suite à la fuite sur la ligne de soutirage du bac de récupération d'hexane flashé F421 (4") - 223 | D | surpression | 68 | 91 | 215 | 430 | rapide | |
| 104 | 229 | LANXESS - R450 UVCE suite à la fuite sur la ligne de soutirage du bac de récupération d'hexane flashé F401 (4") - 226 | D | surpression | 68 | 91 | 215 | 430 | rapide | |
| 105 | 239 | LANXESS - R466 stockage modificateur UVCE d'hexane suite à la fuite sur le ballon R466 (2") - 236 | C | surpression | 61 | 81 | 191 | 382 | rapide | |
| 108 | 182 | LANXESS - R401 Réacteur Eclatement du réacteur R401 - 179 | D | surpression | 35 | 59 | 118 | 236 | rapide | |
| 109 | 185 | LANXESS - R402 Réacteur Eclatement du réacteur R402 - 182 | D | surpression | 35 | 59 | 118 | 236 | rapide | |
| 111 | 191 | LANXESS - R404 Réacteur Eclatement du réacteur R404 - 188 | D | surpression | 35 | 59 | 118 | 236 | rapide | |
| 112 | 194 | LANXESS - R405 Réacteur Eclatement du réacteur R405 - 191 | D | surpression | 35 | 59 | 118 | 236 | rapide | |
| 114 | 200 | LANXESS - R421 Réacteur Eclatement du réacteur R421 - 197 | D | surpression | 35 | 59 | 118 | 236 | rapide | |
| 115 | 203 | LANXESS - R422 Réacteur Eclatement du réacteur R422 - 200 | D | surpression | 35 | 59 | 118 | 236 | rapide | |
| 116 | 210 | LANXESS - R440 Réacteur Eclatement du réacteur R440 - 207 | D | surpression | 35 | 59 | 118 | 236 | rapide | |
| 117 | 213 | LANXESS - R457 Réacteur Eclatement du réacteur R457 - 210 | D | surpression | 35 | 59 | 118 | 236 | rapide | |
| 118 | 216 | LANXESS - R460 Réacteur Eclatement du réacteur R460 - 213 | D | surpression | 35 | 59 | 118 | 236 | rapide | |
| 119 | 219 | LANXESS - R461 Réacteur Eclatement du réacteur R461 - 216 | D | surpression | 35 | 59 | 118 | 236 | rapide | |
| 120 | 222 | LANXESS - R462 Réacteur Eclatement du réacteur R462 - 219 | D | surpression | 35 | 59 | 118 | 236 | rapide | |
| 121 | 236 | LANXESS - R456 Réacteur Eclatement du réacteur R456 - 235 | D | surpression | 35 | 59 | 118 | 236 | rapide | |
| 122 | 266 | LANXESS - F 541, 548, 571 (Stockage tampon) UVCE suite à la rupture guillotine en fond de blend tank - 245 | E | surpression | 201 | 267 | 625 | 1250 | rapide | |
| 126 | 260 | LANXESS - F528, 542, 572 (Stockage tampon) UVCE suite à la rupture guillotine en fond de blend tank - 257 | E | surpression | 201 | 267 | 625 | 1250 | rapide | |
| 134 | 285 | LANXESS - P560 pompe de refoulement de F560 (ligne 1) UVCE d'hexane suite à la rupture au refoulement de la pompe P560 (4") - 282 | D | surpression | 35 | 50 | 115 | 270 | rapide | |
| 135 | 283 | LANXESS - P568 pompe de refoulement de F573 (ligne 2) UVCE d'hexane suite à la rupture au refoulement de la pompe P568 (4") - 280 | D | surpression | 35 | 50 | 115 | 270 | rapide | |
| 140 | 259 | LANXESS - F528 (Stockage tampon) - Explosion du blend tank F528 - 256 | E | surpression | 27 | 46 | 91 | 182 | rapide | |
| 142 | 265 | LANXESS - F541 (Stockage tampon) - Explosion du blend tank F541 - 262 | E | surpression | 27 | 46 | 91 | 182 | rapide | |
| 143 | 268 | LANXESS - F542 (Stockage tampon) - Explosion du blend tank F542 - 265 | E | surpression | 27 | 46 | 91 | 182 | rapide | |
| 144 | 271 | LANXESS - F548 (Stockage tampon) - Explosion du blend tank F548 - 268 | E | surpression | 27 | 46 | 91 | 182 | rapide | |
| 146 | 277 | LANXESS - F571 (Stockage tampon) - Explosion du blend tank F571 - 274 | E | surpression | 27 | 46 | 91 | 182 | rapide | |
| 147 | 280 | LANXESS - F572 (Stockage tampon) - Explosion du blend tank F572 - 277 | E | surpression | 27 | 46 | 91 | 182 | rapide | |
| 148 | 1 | LANXESS - Stockage GCL F102 - VCE suite à la rupture guillotine du plus gros piquage de la sphère F102 en phase liquide (6 pouces) - 1 | D | surpression | 0 | 0 | 232 | 464 | rapide | |
| 149 | 5 | LANXESS - Stockage GCL F105 - VCE suite à la rupture guillotine du plus gros piquage de la sphère F105 en phase liquide (6 pouces) - 5 | D | surpression | 0 | 0 | 232 | 464 | rapide | |
| 150 | 18 | LANXESS - Pipeline de butadiène - VCE suite à la rupture guillotine du pipeline (4") d'acheminement de butadiène EXXON CHEMICAL - 18 | D | surpression | 0 | 0 | 213 | 426 | rapide | |
| 151 | 12 | LANXESS - Stockage GCL F117 - VCE suite à la rupture guillotine d'une ligne de fond (3") du stockage butadiène 1-2 F117 - 12 | C | surpression | 0 | 0 | 179 | 358 | rapide | |
| 153 | 4 | LANXESS - Stockage GCL F102 et F105 BLEVE - 4 | E | surpression | 0 | 44 | 123 | 237 | rapide | |
| 155 | 3 | LANXESS - Stockage GCL F102 et F105 BLEVE - 3 | E | thermique | 0 | 656 | 811 | 0 | rapide | |
| 157 | 14 | LANXESS - Stockage GCL F117 BLEVE de F117 - 14 | E | thermique | 0 | 217 | 279 | 0 | rapide | |
| 158 | 10 | LANXESS - Stockage GCL F151 BLEVE de F151 - 10 | E | thermique | 0 | 157 | 205 | 0 | rapide | |

| Numéro du PhD | Numéro du PhD Lanxess | Commentaire (descriptif) | Indice de probabilité | Type d'effet | Distance d'effet (4n m) | | | Bris de vitre | Cinétique |
|---------------|-----------------------|--|-----------------------|--------------|-------------------------|-------------|--------------------|---------------|-----------|
| | | | | | Effet très grave | Effet grave | Effet significatif | | |
| 159 | 11 | LANXESS - Stockage GCL F152 BLEVE de F152 - 11 | E | thermique | 0 | 157 | 205 | 0 | rapide |
| 161 | 2 | LANXESS - Stockage GCL F102 - incendie bouie de feu (conséquence VCE) suite à la rupture guillotine du plus gros piquage de la sphère F102 en phase liquide (6 pouces) - 2 | D | thermique | 162 | 162 | 178 | 0 | rapide |
| 162 | 6 | LANXESS - Stockage GCL F105 - incendie bouie de feu (conséquence VCE) suite à la rupture guillotine du plus gros piquage de la sphère F105 en phase liquide (6 pouces) - 6 | D | thermique | 162 | 162 | 178 | 0 | rapide |

| Numéro du PhD | Numéro du PhD Lanxess | Commentaire (descriptif) | Indice de probabilité | Type d'effet | Distance d'effet (en m) | | | Bris de vitre | Cinétique |
|---------------|-----------------------|---|-----------------------|--------------|-------------------------|-------------|--------------------|---------------|-----------|
| | | | | | Effet très grave | Effet grave | Effet significatif | | |
| 163 | 19 | LANXESS - Pipeline de butadiène- Incendie boule de feu (conséquence VCE) suite à la rupture guillotine du pipeline (4") d'acheminement de butadiène EXXON CHEMICAL - 19 | D | thermique | 158 | 158 | 174 | 0 | rapide |
| 164 | 13 | LANXESS - Stockage GCL F117 - Incendie boule de feu (conséquence VCE) suite à la rupture guillotine d'une ligne de fond du stockage butadiène 1-2 F117 - 13 | C | thermique | 128 | 128 | 141 | 0 | rapide |
| 170 | 41 | LANXESS - Stockage de liquide inflammable (blend B) F 106 - Explosion suite à la rupture de la ligne de soutirage 10 pouces du réservoir F 106 - 41 | D | surpression | 122 | 164 | 401 | 918 | rapide |
| 171 | 45 | LANXESS - Stockage de liquide inflammable (blend B) F 107 - Explosion suite à la rupture de la ligne de soutirage 4 pouces - 45 | D | surpression | 56 | 74 | 223 | 464 | rapide |
| 173 | 49 | LANXESS - Stockage de liquide inflammable (solvant) F 108 - Explosion suite à la rupture de la ligne de soutirage 4 pouces - 49 | D | surpression | 51 | 68 | 166 | 381 | rapide |
| 174 | 56 | LANXESS - Stockage de liquide inflammable (solvant) F 111 - Explosion suite à la rupture de la ligne de soutirage 4 pouces - 56 | D | surpression | 51 | 68 | 166 | 381 | rapide |
| 175 | 34 | LANXESS - Stockage de liquide inflammable (blend S) F 103 - Explosion suite à la rupture de la ligne de soutirage 4 pouces - 34 | D | surpression | 50 | 67 | 165 | 377 | rapide |
| 176 | 52 | LANXESS - Receveur liquide inflammable (solvant usine) F 110 - Explosion suite à la rupture de la ligne de soutirage 12 pouces - 52 | D | surpression | 35 | 45 | 99 | 225 | rapide |
| 177 | 59 | LANXESS - Receveur liquide inflammable (solvant usine) F 116 - Explosion suite à la rupture de la ligne de soutirage 12 pouces - 59 | D | surpression | 35 | 45 | 99 | 225 | rapide |
| 178 | 75 | LANXESS - F119 (stockage d'huile) - Explosion interne du bac F119 - 75 | E | surpression | 15 | 21 | 45 | 90 | rapide |
| 179 | 42 | LANXESS - Stockage de liquide inflammable (blend B) F 108 - Effets thermiques suite à VCE consécutif à la rupture de la ligne de soutirage 10 pouces - 42 | D | thermique | 258 | 258 | 284 | 0 | rapide |
| 180 | 47 | LANXESS - Stockage de liquide inflammable (blend B) F 107 - Incendie feu de torche suite à la rupture de la ligne de soutirage 4 pouces - 47 | D | thermique | 157 | 166 | 186 | 0 | rapide |
| 181 | EX 43 | LANXESS - Stockage de liquide inflammable (blend B) F 106 - Incendie feu torche suite à la rupture de la ligne de soutirage 3 pouces - 43 | D | thermique | 130 | 137 | 152 | 0 | rapide |
| 182 | 46 | LANXESS - Stockage de liquide inflammable (blend B) F 107 - Effets thermiques suite à VCE consécutif à la rupture de la ligne de soutirage 4 pouces - 46 | D | thermique | 124 | 124 | 136 | 0 | rapide |
| 184 | 50 | LANXESS - Stockage de liquide inflammable (solvant) F 108 - Effets thermiques suite à VCE consécutif à la rupture de la ligne de soutirage 4 pouces - 50 | D | thermique | 75 | 75 | 83 | 0 | rapide |
| 185 | 57 | LANXESS - Stockage de liquide inflammable (solvant) F 111 - Effets thermiques suite à VCE consécutif à la rupture de la ligne de soutirage 4 pouces - 57 | D | thermique | 75 | 75 | 83 | 0 | rapide |
| 186 | 36 | LANXESS - Stockage de liquide inflammable (blend S) F 103 - Effets thermiques suite à VCE consécutif à la rupture de la ligne de soutirage 4 pouces - 36 | D | thermique | 57 | 57 | 63 | 0 | rapide |
| 187 | 51 | LANXESS - Receveur liquide inflammable (solvant usine) F 110 - Incendie feu de cuvette suite à la rupture guillotine ligne de pied du bac F 110 (12") - 51 | D | thermique | 30 | 40 | 55 | 0 | rapide |
| 188 | 58 | LANXESS - Receveur liquide inflammable (solvant usine) F 116 - Incendie feu de cuvette suite à la rupture guillotine ligne de pied du bac F 110 (12") - 57 | D | thermique | 30 | 40 | 55 | 0 | rapide |
| 189 | 35 | LANXESS - Stockage de liquide inflammable (blend S) F 103 - Incendie feu de cuvette suite à la rupture en pied de bac du piquage de 4" - 35 | D | thermique | 25 | 35 | 45 | 0 | rapide |
| 191 | 48 | LANXESS - Stockage de liquide inflammable (solvant) F 108 - Incendie feu de nappe suite à la rupture de la ligne de soutirage 4 pouces - 48 | D | thermique | 25 | 35 | 45 | 0 | rapide |
| 192 | 55 | LANXESS - Stockage de liquide inflammable (solvant) F 111 - Incendie feu de nappe suite à la rupture de la ligne de soutirage 4 pouces - 54 | D | thermique | 25 | 35 | 45 | 0 | rapide |
| 193 | 40 | LANXESS - Stockage de liquide inflammable (blend B) F 106 - Incendie feu de cuvette suite à la rupture de la ligne de soutirage 10 pouces du réservoir F 106 - 40 | D | thermique | 25 | 30 | 40 | 0 | rapide |
| 194 | 44 | LANXESS - Stockage de liquide infl (blend B) F 107 Incendie feu de cuvette suite à la Rupture de la ligne de soutirage 4 pouces - 44 | D | thermique | 25 | 30 | 40 | 0 | rapide |
| 195 | 53 | LANXESS - Receveur liquide infl (solvant usine) F 110 Effets thermiques suite à VCE consécutif à la Rupture de la ligne de soutirage 12 pouces - 53 | D | thermique | 30 | 30 | 33 | 0 | rapide |
| 196 | 50 | LANXESS - Receveur liquide infl (solvant usine) F 116 Effets thermiques suite à VCE consécutif à la Rupture de la ligne de soutirage 12 pouces - 59 | D | thermique | 30 | 30 | 33 | 0 | rapide |
| 197 | 62B | LANXESS - zone 100 B - Pressurisation de bac F153 | E | thermique | 101 | 128 | 180 | 0 | rapide |
| 198 | 65B | LANXESS - zone 100 B - Pressurisation de bac F157 | E | thermique | 101 | 128 | 180 | 0 | rapide |
| 201 | 21 | LANXESS - Wagon Butadiène - Incendie boule de feu suite à la rupture guillotine du flexible sur la phase liquide en déchargement wagon butadiène (diamètre 80 mm) - 21 | C | surpression | 0 | 0 | 157 | 314 | rapide |
| 202 | 22 | LANXESS - Wagon Butadiène BLEVE d'une citerne mobile de butadiène - 22 | E | thermique | 0 | 229 | 295 | 0 | rapide |
| 203 | 20 | LANXESS - Wagon Butadiène VCE suite à la rupture guillotine du flexible sur la phase liquide en déchargement wagon butadiène (diamètre 80 mm) - 20 | C | thermique | 95 | 111 | 122 | 0 | rapide |
| 208 | 152 | LANXESS - rack Z200 - Effets thermiques de l'explosion consécutive à la rupture d'une ligne de Blend B (40% butadiène/60% hexane) sur la dernière nappe du rack est/ouest qui sépare la distillation de la purification - 149 | E | thermique | 480 | 480 | 528 | 0 | rapide |
| 209 | 142 | LANXESS - Colonne D 215 - Stripage du solvant résiduaire - Effets thermiques de l'explosion consécutive à la rupture de la ligne de fond de la colonne D 215 (10") - 139 | D | thermique | 396 | 396 | 436 | 0 | rapide |
| 210 | 154 | LANXESS - Rack Z200 - Feu de jet suite à la rupture d'une ligne de Blend B (40% butadiène/60% hexane) sur la dernière nappe du rack est/ouest qui sépare la distillation de la purification - 151 | E | thermique | 304 | 324 | 373 | 0 | rapide |
| 211 | 135 | LANXESS - Colonne D 213 - Stripage du solvant résiduaire - Effets thermiques de l'explosion consécutive à la rupture de la ligne en fond de colonne D 213 (10") - 131 | D | thermique | 288 | 288 | 317 | 0 | rapide |
| 212 | 131 | LANXESS - F 235 - Incendie feu de jet suite à la rupture de la canalisation du piquage en fond de F 235 (3") - 128 | D | thermique | 146 | 152 | 164 | 0 | rapide |
| 213 | 126 | LANXESS - Colonne D212 - Séchage du bd et hexane - Effets thermiques de l'explosion consécutive à la rupture de la canalisation en fond de colonne D212 (10") - 123 | D | thermique | 144 | 144 | 158 | 0 | rapide |
| 214 | 130 | LANXESS - F 235 - Effets thermiques de l'explosion consécutive à la rupture de la canalisation du piquage en fond de F 235 (3") - 127 | D | thermique | 139 | 139 | 153 | 0 | rapide |
| 215 | 138 | LANXESS - F231 (reflux D213) - Effets thermiques de l'explosion consécutive à la rupture de la ligne de soutirage du F231 (3") - 135 | D | thermique | 108 | 108 | 119 | 0 | rapide |
| 220 | 23 | LANXESS - Compresseur C107 - VCE suite à la rupture guillotine au refoulement du compresseur C107 (4 pouces) - 23 | D | surpression | 0 | 57 | 120 | 240 | rapide |
| 221 | 119 | LANXESS - Colonne D211A/B - Séchage du blend S - Effets thermiques de l'explosion consécutive à la fuite en pied de colonne D 211 A -- admission de blend S (6") - 116 | D | thermique | 118 | 118 | 130 | 0 | rapide |
| 222 | 95 | LANXESS - F203 - Effets thermique du VCE consécutif à la rupture de la canalisation de 3" en fond de F 203 - 92 | D | thermique | 127 | 127 | 140 | 0 | rapide |
| 223 | 91 | LANXESS - F222 Effets thermiques suite à VCE consécutif à rupture fragile de la ligne au refoulement de la soupape du bac (suite à décharge de butadiène) - 88 | D | thermique | 85 | 85 | 94 | 0 | rapide |
| 224 | 92 | LANXESS - F222 - Feu de jet suite à rupture fragile de la ligne au refoulement de la soupape du bac (suite à décharge de butadiène) - 89 | D | thermique | 65 | 70 | 81 | 0 | rapide |
| 225 | 80 | LANXESS - Colonne D201 - Purification, lavage du bd 1-3 - Effets thermiques suite à VCE consécutif à la rupture du piquage de fond de la colonne D201 (1,5") - 78 | D | thermique | 69 | 69 | 76 | 0 | rapide |
| 230 | 181 | LANXESS - R401 réacteur - Effets thermiques de l'explosion consécutive à la rupture en pied de réacteur R 401 (12") - 178 | E | thermique | 330 | 330 | 363 | 0 | rapide |
| 231 | 184 | LANXESS - R402 réacteur - Effets thermiques de l'explosion consécutive à la rupture en pied de réacteur R 402 (12") - 181 | E | thermique | 330 | 330 | 363 | 0 | rapide |
| 233 | 190 | LANXESS - R404 réacteur - Effets thermiques de l'explosion consécutive à la rupture en pied de réacteur R 404 (12") - 187 | E | thermique | 330 | 330 | 363 | 0 | rapide |
| 234 | 193 | LANXESS - R405 réacteur - Effets thermiques de l'explosion consécutive à la rupture en pied de réacteur R 405 (12") - 190 | E | thermique | 330 | 330 | 363 | 0 | rapide |
| 236 | 199 | LANXESS - R421 réacteur - Effets thermiques de l'explosion consécutive à la rupture en pied de réacteur R 421 (12") - 196 | E | thermique | 330 | 330 | 363 | 0 | rapide |
| 237 | 202 | LANXESS - R422 réacteur - Effets thermiques de l'explosion consécutive à la rupture en pied de réacteur R 422 (12") - 199 | E | thermique | 330 | 330 | 363 | 0 | rapide |
| 238 | 212 | LANXESS - R457 réacteur - Effets thermiques de l'explosion consécutive à la rupture en pied de réacteur R 457 (12") - 209 | E | thermique | 330 | 330 | 363 | 0 | rapide |

| Numéro du PhD | Numéro du PhD Lanxess | Commentaire (descriptif) | Indice de probabilité | Type d'effet | Distance d'effet (en m) | | | Bris de vitre | Cinétique |
|---------------|-----------------------|--|-----------------------|--------------|-------------------------|-------------|--------------------|---------------|-----------|
| | | | | | Effet très grave | Effet grave | Effet significatif | | |
| 239 | 215 | LANXESS - R460 réacteur - Effets thermiques de l'explosion consécutive à la rupture en pied de réacteur R 460 (12") - 212 | E | thermique | 330 | 330 | 363 | 0 | rapide |
| 240 | 218 | LANXESS - R461 réacteur - Effets thermiques de l'explosion consécutive à la rupture en pied de réacteur R 461(12") - 215 | E | thermique | 330 | 330 | 363 | 0 | rapide |
| 241 | 221 | LANXESS - R462 réacteur - Effets thermiques de l'explosion consécutive à la rupture en pied de réacteur R 462 (12") - 218 | E | thermique | 330 | 330 | 363 | 0 | rapide |
| 244 | 168 | LANXESS - F424 - Stockage et emploi de néodyme - Effets thermiques de l'explosion consécutive à la rupture en ras de paroi du F 424 (1,5") - 165 | C | thermique | 63 | 63 | 69 | 0 | rapide |
| 245 | 205 | LANXESS - R440 réacteur - Effets thermiques de l'explosion consécutive à la fuite sur la ligne (4") d'alimentation en Blend B du réacteur R440 - 202 | D | thermique | 40 | 40 | 44 | 0 | rapide |
| 246 | 233 | LANXESS - R456 réacteur - Effets thermiques de l'explosion consécutive à la fuite sur la ligne (4") d'alimentation en Blend B du réacteur R456 - 230 | D | thermique | 40 | 40 | 44 | 0 | rapide |
| 262 | 261 | LANXESS - F528 (Stockage tampon) - Effets thermiques de l'explosion consécutive à la rupture guillotine en fond de blend tank - 258 | E | thermique | 606 | 606 | 667 | 0 | rapide |
| 264 | 267 | LANXESS - F541 (Stockage tampon) - Effets thermiques de l'explosion consécutive à la rupture guillotine en fond de blend tank - 264 | E | thermique | 606 | 606 | 667 | 0 | rapide |
| 265 | 270 | LANXESS - F542 (Stockage tampon) - Effets thermiques de l'explosion consécutive à la rupture guillotine en fond de blend tank - 267 | E | thermique | 606 | 606 | 667 | 0 | rapide |
| 266 | 273 | LANXESS - F548 (Stockage tampon) - Effets thermiques de l'explosion consécutive à la rupture guillotine en fond de blend tank - 270 | E | thermique | 606 | 606 | 667 | 0 | rapide |
| 268 | 279 | LANXESS - F571 (Stockage tampon) - Effets thermiques de l'explosion consécutive à la rupture guillotine en fond de blend tank - 276 | E | thermique | 606 | 606 | 667 | 0 | rapide |
| 269 | 282 | LANXESS - F572 (Stockage tampon) - Effets thermiques de l'explosion consécutive à la rupture guillotine en fond de blend tank - 279 | E | thermique | 606 | 606 | 667 | 0 | rapide |
| 270 | 284 | LANXESS - P568 feu de nappe + flash fire suite rupture de la pompe de refoulement de F573 | C | thermique | 23 | 29 | 35 | 0 | rapide |

PPRT de Port Jerome (Lanxess Elastomères) Carte d'aléa des effets thermiques



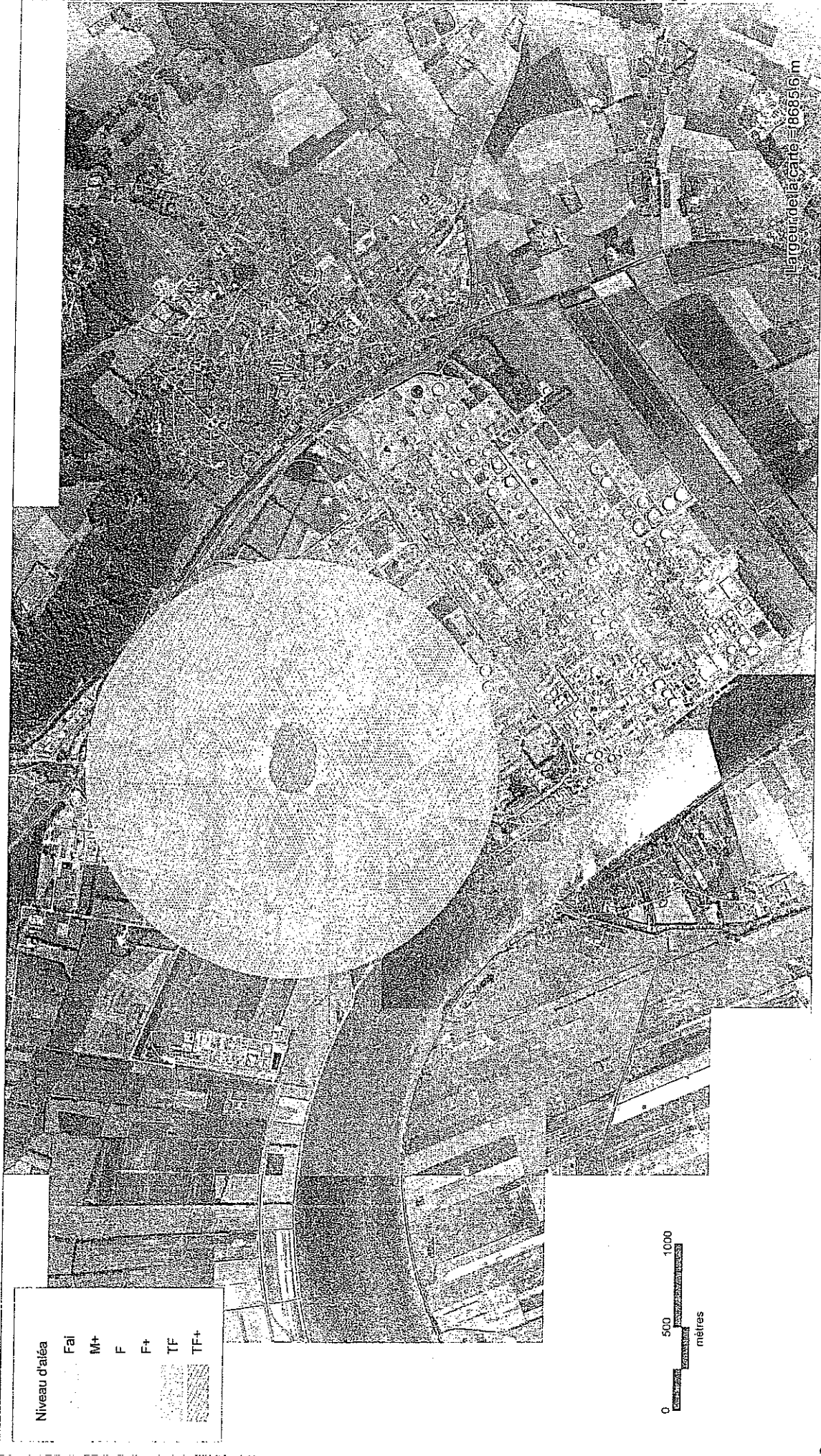
Sources:
 Dossier: Calculs du 2009 10 28 - alea lanxess
 Rédaction/Édition: - 28/10/2009 - MAPINFO® V 8 - SIGALEA® V 3.1.0 - ©INERIS 2009

SIGALEA



Liberté • Égalité • Fraternité
RÉPUBLIQUE FRANÇAISE

PPRT de Port Jerome (Lanxess Elastomères) Carte d'aléa des effets de surpression



Sources:
Dossier: Calculs du 2009_10_28 - alea lanxess
Rédaction/Édition: - 28/10/2009 - MAPINFO® V 8 - SIGALEA® V 3.1.0 - ©INERIS 2009

SIGALEA

PPRT de Port Jerome (Lanxess Elastomères) Enveloppes des aléas tous types d'effets confondus



Sources:
Dossier: Calculs du 2009 10 28 - alea lanxess
Rédaction/Édition: - 28/10/2009 - MAPINFO® V 8 - SIGALEA® V 3.1.0 - ©INERIS 2009

SIGALEA

Annexe 3